

الفصل الحادى عشر

التحليل الآوتوماتيكي لخريطة هدب التداخل الضوئي

Automatic Analysis of Interferograms

١/١١ - خطوات تحليل خريطة هدب التداخل

The steps of analysis of interferograms :

التحليل الكمى للصور التى نشاهدما أو نحصل عليها باستخدام الميكروسكوب الضوئى يحدده قوة إبصار عين الراسد وقدرته الذهنية . وإن تطبيق الألكترونيات الرقمية لتحليل الصور التى نحصل عليها باستخدام الميكروسكوب يبشر بحدث تطوير وتقىم فى المستقبل القريب والوصول الى درجة ومرحلة متقدمة مختلفة تماماً عن الحاضر .

قام "Rosen" (١٩٨٤) بتجمیع وعرض طرق إدخال الألكترونيات فى مجال الفحص بالميكروسكوب الضوئى ،تناول عرضة بدءاً بفحص الأجسام الذى يتم بواسطة الميكروسكوب الضوئى إلى الحصول على صور لها ، ثم تحويلها إلى إشارات رقمية وتخزين هذه الصور ، يلى ذلك تحليل اللصور وتسجيل للمعلومات وكتابة النتائج .

ويختص هذا الفصل بإدخال الألكترونيات فى مجال ميكروسكوبات التداخل الضوئى . فالجسم هنا هو خريطة هدب التداخل interferogram ، سواء كانت هدب تداخل ثنائية أو هدب تداخل متعددة ، أو هدب تداخل ناتجة عن مسار مفرد أو مسار ثانى . يتم فيه شرح التحليل الآوتوماتيكي لخرائط الهدب واستخلاص بروفيل معامل انكسار الألياف أى قيم معاملات الانكسار عند كل نقطة على مقطع عرضى للألياف . وقد شمل الفصل على أسماء الباحثين السابقين الذين قاموا بتطبيق التحليل الآوتوماتيكي لخرائط هدب التداخل واستخلاص معاملات انكسار الألياف مع نبذة قصيرة موجزة عن مساهماتهم . هذا بالإضافة إلى تناول المجال بالتفصيل بعد عرض تتبع خطوات إدخال الألكترونيات الذى قدمه " Rosen " (١٩٨٤) فى مجال ميكروسكوبات التداخل الضوئى .

وقد طور " Wonsiewicz et al (١٩٧١) " تكنيك أو تقنية لاختزال المعلومات من صور هدب التداخل باستخدام هدب التداخل الناتجة من شريحة عرضية من الألياف . و تقوم الطريقة على تحويل هدب التداخل إلى إشارات رقمية باستخدام جهاز الشدة الضوئية الماسح Scanning microdensitometer ، يلى ذلك استخدام الحاسب الآلى لتعيين موقع الخط الذى يمر بمركز أو منتصف كل هدبة ، ثم يتم تحويل هذه البيانات إلى قيم معاملات انكسار و قيمة نصف قطر مقطع شعيرة الألياف وهى بروفيل معامل الانكسار عبر مقطع الشعيرة . كما قاموا بتطوير برنامج الحاسب الآلى المطلوب لتسكين البيانات على أنسب منحنى يتبع دالة أسيه .

وقد استخدم "Presby et al (١٩٧٨) " نظاماً أوتوماتيكياً مكوناً من كاميرا فيديو ومحول رقمي وحاسب آلى لمعالجة البيانات التي يخرجها ميكروسكوب التداخل باستخدام طريقة الشريحة العرضية لشعيرة الألياف . وقد أمكنهم استخلاص بروفيل معامل الانكسار للألياف متدرجة معامل انكسار لها .

"Marcuse et al (١٩٧٩) " وكذلك "Presby et al (١٩٧٩) " ، وأيضاً "Boggs et al (١٩٨٠) " مستخدمين طريقة التداخل الضوئي المستعرض ، حيث تغمر الشعيرة في سائل له نفس معامل انكسار قشرتها ويضاء بحزمة اتجاهها عمودي على محور الشعيرة . وقد قدموا وصفاً لمكونات نظام بصري يتم بواسطته إجراء قياسات ببروفيل المسار الواحد أوتوماتيكياً . فلقد استخدم ميكروسكوب التداخل للضوء النافذ "Leitz" الذي يقوم على مسار مفرد وحزمتين ضوئيتين و معه كاميرا فيديو ونظام لتحليل صور الفيديو . وشملت طريقتهم في القياس التسجيل باستخدام الفيديو وتحويل صور هدب التداخل إلى رقمية تحت تحكم أو سيطرة الحاسب الآلى .

وطبقاً لما قدمه "Rosen (١٩٨٤) " فإن خطوات العمل و تتبعها في التحليل الآوتوماتيكي لخرانط هدب التداخل الناتجة من ميكروسكوبات التداخل هي كما يلى :

- أ- تصميم و تنفيذ مقياس التداخل على قاعدة stage الميكروسكوب .
- بـ- الحصول على صورة مكبرة لخريطة هدب التداخل . هذه الصورة المكونة للهدب

يمكن أن ترى بالإبصار العادي أو تسجل على لوح فوتوفرافي أو تظهر على شاشة تليفزيون ، ويجب أن تستمر فترة زمنية كافية لاستخلاص البيانات الكمية منها .

ج- استخلاص المعلومات العددية من الصورة وتخزينها . ويتم القياس باستخدام graticule عند عدسة العينية أو باستخدام صور مسجلة كمراجع ثم يتم إرسالها إلى آلة حاسبة أو حاسب آلي .

د- تحليل البيانات الناتجة من القياس .

هـ- تسجيل نتائج التحليل .

١/١/١١ - الحصول على الصورة : Picture acquisition

يحصل المشاهد من خلال الميكروسكوب - سواء كان ينظر إلى الميكروسكوب أو إلى صورة أو إلى شاشة تليفزيون - يحصل على صورة لمجال الرؤية كاملاً من أول وهلة . فاستجابة خلايا الشبكية للمشاهد تتم جماعتها آنذاك في نفس اللحظة ، وهي في وضع مواز لمساحة الرؤية المضادة . فكاميرا التصوير تسجل صورة المنظر على فيلم حساس by parallel acquisition . وعند استخدام كاميرا التليفزيون يتم تحويل الصورة إلى إشارة كهربائية بطريقة تسمح بقراءتها serially . كقطعة تتحرك على خط مستقيم ، حيث تتبع في مسارها خطوطاً مستقيمة متتابعة تغطي الصورة .

وحيثما أدخلت بدائل لهذه الطريقة بأجهزة تستخدم كواشف من الصمام الثنائي diode تسمح للتيار الكهربائي أو الإشارات بالمرور في اتجاه واحد فقط ، وقد وزعت على شكل مصفوفة أو مجموعة متراصة يشغل كل كاشف موضعًا معيناً بترتيب معين ، أو باستخدام مكونات مشحونة Charge coupled devices على شكل مصفوفة .

٢/١/١١ - تحويل الصورة إلى أرقام وتخزينها :

Digitisation and storage of the image

بالرغم من أنه يمكن تخزين الصورة الإلكترونية في شكل تناظري analogue form ، مثل على شريط فيديو ، إلا أن دائرة اهتمامنا هنا هي النظم التي يتم عن طريقها تحويل الصور ومنها يكون ضرورياً تحويل الصورة إلى أرقام قبل تحليلها . وهناك مطلبان لتحويل الصورة

إلى أرقام :

أ- بالنسبة إلى الموقع أى تحديد إحداثى الموقع .

ب- بالنسبة إلى قيمة الشدة الضوئية أى تحديد منسوب الشدة الضوئية عند هذه النقطة

يعنى هذا أن خريطة هدب التداخل المكونة في مستوى الصورة بواسطة ميكروسكوب التداخل الضوئي أو باستخدام النظام البصري الذى يسمح بتكوين هدب التداخل عند النهاز أو عند الانعكاس ، يتم إحلال مجموعة set من الصور النقطية محلها - تسمى هذه الصور النقطية pixels - تلك التى يمكن توصيفها بقيمتى إحداثيين وقيمة الشدة الضوئية لضوء أحادى الطول الموجى عندها ، ويصاحب ذلك معامل التلوين chrominance index للهدب المكونة بالضوء الأبيض . ويتوقف كفاءة عملية تحويل الصورة إلى رقمية على عدد الصور النقطية فى وحدة المساحات وعدد مناسبات الشدة الضوئية التى يمكن التفرقة بينها .

التقىم الفراغى : Spatial digitisation

يتم ترتيب الصور النقطية على هيئة شبكة أو شبكة وتحدد المساحة المحددة لكل صورة نقطية بالشبكة المكونة من خطوط أفقية ورأسيّة متقارضة مكونة لواقع رباعية الشكل متساوية المساحات ، وأكثر الشبكات استخداما تكون فى شكل مستطيل . وترتبط قوة التحليل الضوئي التى يمكن الحصول عليها بكلّافة الصور النقطية فى الشبكة . والقيمة 500×500 لشبكة مربعة الشكل يمكن اعتبارها أقل قيمة مفيدة .

وفىما يلى اشتقاداً تعّبّير رياضى لمعد الصور النقطية ونرمز له بالحرف p فى خط مستقيم طوله I على الصورة بدلالة عدد العينات المأخوذة sampling frquency F_s . فكل نقطة على جسم مضاء تم اختيارها بواسطة الميكروسكوب لها نموذج pattern متكونة فى المستوى الذى تتكون فيه الصورة . فللعدسة التى نافذتها مستديرة circular aperture يحدد خطوط الحيد قرص Airy disk الذى تغير فيه الشدة الضوئية تبعاً للدالة $J_1(x^2)$ ، حيث $(x) J_1$ ترمز إلى دالة Bessel للمتغير x من الدرجة الأولى و x هي المسافة من مركز خطوط الحيد .

وقد أفاد "Hopkins" (١٩٤٣) بأنه يمكن تقرير معادلة أبى إلى دالة جاوس وهي $\exp(-x^2/2r^2)$ - والتي تتمكن من احتواء التأثيرات الثانوية أى من الدرجة الثانية التي تظهر عند استخدام عدسات لها اتساع عددي كبير . ويرمز إلى نصف القطر في دالة جاوس بالرمز r الذى تحصل الشدة الضوئية عنده فى صورة خطوط الحيد إلى ٦٠٪ من قيمتها عند المنتصف أو المركز .

وتعطى تحولات فوريير لدالة جاوس طيف التردد الفراغي لخطوط الحيد التى تم تسجيلها - انظر : Eccles et al 1976 a - من الواضح أن أى خط على الصورة نحصل عليه عن طريق convolving the pattern of illumination "Rosen" العلاقة الآتية التى تعطى مجموع خطوط الحيد الناتجة من نقطة مضيئة . ولقد قدم "Rosen" العلاقة الآتية التى تعطى عدد الصور النقطية P على خط طوله l على الصورة :

$$P = 3l / \pi m (0.22\lambda/NA) \quad (11.1)$$

حيث NA هي الاتساع العددي لشينية الميكروسكوب ، m قوة التكبير ، λ طول موجة الضوء أحادى الطول الموجى المستخدم .

وقدم "Eccles et al" (١٩٧٦a,b) وصفا لنظام مبرمج باستخدام flying spot microscope الذى يمكن عن طريقه الحصول على بيانات عدديه بتحويل الصورة إلى أرقام . وقد استخدم المعادلة الآتية :

$$P = 3l / \pi [r_1^2 + (0.22\lambda m / NA)^2]^{1/2} \quad (11.2)$$

حيث r_1 ترمز إلى نصف قطر scan tube للميكروسكوب الذى عنده تحصل الشدة الضوئية I إلى ٦١٪ من قيمتها عند المنتصف والميكروسكوب الذى يستخدم شينية لها اتساع عددي NA مساو ٢٥ وقوة تكبير ١٢٠٠ باستخدام ضوء طوله الموجى λ تساوى ٠٠٠٥ آنجلستروم مستخدما شينية عالية القوة وسائل الفمر oil immersion ويكون صورة عرضها ٥ سم فى كاميرا التليفزيون والعدد المناسب للصور النقطية فى كل خط من p تساوى ٤٥٢ (المعادلة ١-١١).

هذه الحسابات لا تتضمن أولا تأخذ فى الاعتبار الترشيح الفراغي spatial filtering الذى يدخل عن طريق حزمة الألكترونات التى تقرأ الصورة الكامنة داخل الكاميرا . ولعل

كلافة الصور النقطية التي تصل إلى 256×256 تكون مناسبة للحصول على كل المعلومات المتاحة . وعمليا تمثل قيم الإحداثيات x, y لكل صورة نقطية في النظام الآوتوماتيكي بواسطة صفات من البايت^(*) bits (صفر ، وحدات) ، فالصف الذي يحوي 8 بايت يوفر 256 أى قيم عددها 2^8 ، والصف 9 بايت يوفر 12 قيمة . ويوجد مكونات أجهزة قياسية صممت لتعامل مع الصور ذات الكفاءة التي أطوالها 8 بايت ، 12 بايت ،

هذا وظهر اتجاه منذ عام ١٩٧٠ عند استخدام النظم الميكروسكوبية التي تعمل آوتوماتيكياً أن تستخدم شبكة 256×256 من الصور النقطية ، أما الآن فإن شبكات تحتوى على 122×122 صفحات معمود أصبحت متوفرة .

تحويل الإشارة إلى أرقام : Singal digitisation

في جميع الحالات العملية يوجد حد أعلى لعدد مناسبات الشدة الضوئية التي تحتاجها لترقيم إشارة وباستخدام الرياضيات التي تقوم على استخدام رموز رقميين مما يصرف الواحد (1,0) يمكن تمثيل أو وصف الإشارة بمصف من عدد m بايت قابل للتقسيم إلى عدد N مناسب ، حيث $N = 2^m$. فإذا كانت النسبة بين الإشارة إلى الضوضاء signal to noise في الكاشف $\frac{S}{N} = 1.4 / (S/n)$. هذه العلاقة قد وصل إليها "Billingsley" (١٩٧١) . وللأجهزة الإلكترونية الحساسة $\frac{S}{N}$ التي تعمل بقيمة تساوى ١٠٠ ، $N = 71$ منسوباً ، يحتاج التعبير الترقيم الثنائي إلى عدد ٧ بايت تعبير عن ١٢٨ منسوب . وعند استخدام ميكروسكوب تليفزيوني يعمل بقيمة $\frac{S}{N} = 200$ ، $N = 1 : 214$ فإن هذا يحتاج إلى شفرة أو كود يحوى ٨ بايت .

تخزين الصورة : Storage of the image

يمكن تخزين الصور على ألواح فوتغرافية أو على أشرطة فيديو . وكان نتيجة التقدم في الدوائر المتكاملة integrated circuitry وتتوفر أقراص تخزين بجميع المقاسات ، أنه أصبح ممكنا تخزين مكتبات كبيرة من الصور على هيئة أرقام . فإذا حولنا صورة إلى

(*) وكلمة bit بايت مصطلح مختصر مكون من الحرف الأول من الكلمة الأولى والحرفين الآخرين من الكلمة الأخيرة من العبارة الآتية :

Binary digIT . وتعنى رقمان ثابتين (0,1) ، ويطلق هذا التعبير على موقع صغير كاف لتمثيل رقم ثالث .

شبكة من الصور نقطية أى تجزتها إلى 12×12 صورة نقطية وأن الإشارة ضوئية لكل صورة نقطية قد أمكن تحويلها إلى شفرة أو كود يمثلها كلمة تقام على 8 بait ، السعة المطلوبة لتخزين الصورة باكملها هو 0.25 Mbyte أى 25 . . مليون بait - البايت يعني موقع تخزين مكون من عناصر ثنائية - فمجموعه من الواقع الثنائي ينظر إليها كوحدة متكاملة تكون في معظم النظم من ثنائية موقع 8 bits ، وبعض النظم 16 موقعًا أو 32 موقعًا وإن كان المستخدم منها في تمثيل رمز من رموز البيانات الرقمية 8 موقع فقط . والبايت هو الموقع الكافي لتخزين رمز واحد فقط من رموز البيانات . والسعة السابق ذكرها تفطى كمية هائلة من المعلومات مساوية لمحطيات الكتاب متوسط الحجم ، لكن أقراص التخزين حتى القرص المرن الصغير Floppy disk يمكن أن يختزن بيسر هذه الكمية من البيانات . إن امكانية الاحتفاظ بالصورة في ميكروسكوبيات التداخل الآلتماتيكية ضرورة هامة . الاحتفاظ بها في مخزن حيث تكون صالحة لاستخلاصها وتحليلها في ذاكرة التوصيل العشوائى وهى الذاكرة التى يتم التوصيل إلى أى موقع مباشرة دون اتباع تدرج أو تسلسل معين ، سواء من أجل الإدخال أو الإخراج يعني هذا الاحتفاظ بها في وحدة أو جهاز تخزين ذى مواصفات وتصميم يسمح باستخدامه لتخزين بيانات تم تنظيمها بأسلوب التوصيل المباشر أو العشوائى وهى الخازنة ذات الوسيط الذى يجعل جميع مواقعه متاحة للتوصيل المباشر دون ترتيب ويحيث لا يقتصر أو يرتبط توقيت التوصيل بموقع البيانات على الوسيط (R. A. M) .

ويمكن الآن العمل بذاكرة توصيل عشوائى سعتها تصل إلى عدة ملايين بait Mega bits .

-٣/١/١١- تحليل الصور : التحليل الآلتماتيكي لغريطة مدب التداخل واستخلاص بروفيل معامل الانكسار للألياف باستخدام طريقة التداخل الضوئي للشريحة العرضية :

Picture analysis : automatic analysis of interferograms and deduction of the index profile of fibre using the interferometric slab method

قدمنا في الفصل الخامس النظرية التي تقوم عليها طريقة التداخل الضوئي لشريحة

عرضية لشعيرة . ويمكن اشتقاء تعبير رياضي يربط بين معامل الانكسار للب الشعيرة ونرمز له (x,y) n وإزاحة الهبة ونرمز لها $S(x,y)$ كما يلى :

$$n(x,y) = n_{\text{clad}} + \frac{\lambda S(x,y)}{Dt} \quad (11.3)$$

حيث D ترمز إلى البعد بين هذتين متعاقبتين ، t سماكة الشرحة .

يمكن قياس إزاحة الهبة باستخدام تدريج فى عينية الميكروسكوب وحساب معامل الانكسار من المعادلة (١١-٣) باستخدام برنامج حاسب آلى ، أو قياس إزاحة الهبة المسجلة على لوح فوتografى لصورة الهدب المتكونة من خلال الميكروسكوب تبعاً لما أفاد به "Presby et al (١٩٧٦)" و "Wonsiewicz et al (١٩٧٨)" يقوم طريقة Wonsiewicz على تعين مجموعة الإحداثيات الكرتيزية Cartesian coordinates التى تصف شكل هدب التداخل .

وتم التحديد الآوتوماتيكي لموقع هدب التداخل بالطريقة الآتية المشروحة فى شكل رقم (١١) :

أ- تحويل الفيلم إلى صورة رقمية وتسجيلها كشفرة على شرائط غير مفاتلبيسيه بواسطة فكسميل (*) Facsimile وهو نظام نقل الصور الالكترونية عن بعد .

ب- يتم قراءة الشريط المفنتن باستخدام حساب آلى متعدد الأغراض وتحديد موقع الهدب .

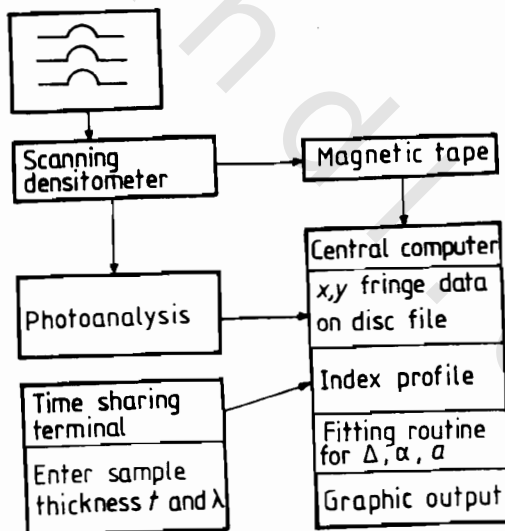
ج- تدون قيم الإحداثيات x, y للهدب على ملف قرص الذاكرة لاستخدامها فى الخطوات اللاحقة .

وتحويل خريطة هدب التداخل إلى شفرة يتطلب استخدام جهاز ماسح لقياس الشدة الضوئية ودرجة السواد Scanning microdensitometer ذى كفاءة عالية ، وقوة

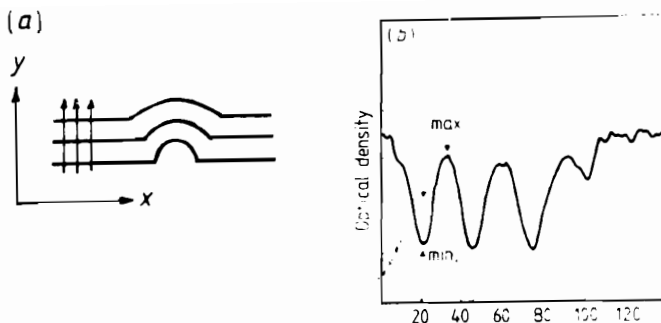
(*) نظام فكسميل هو نظام استخدام شبكات الاتصال الصوتية فى نقل النقط الضوئية المكونة للصور والرسومات من الورق بواسطة جهاز يقوم بتحويلها إلى نبضات قابلة للنقل بواسطة خط التليفون العادى بعد إضافة تجهيزات خاصة ، ثم نقلها من خلال شبكة الاتصال المزيدة بمحاسب آلى للتحكم والتوجيه إلى الطرف المقصود من الشبكة حيث يستقبلها جهاز مماثل لجهاز الإرسال يقوم بتحويل النبضات إلى صورة أو بيان أو رسم مماثل تماماً للأصل .

الفصل ٤ . R.P. خط في المليمتر ونسبة gray scale هو ٢٥٦ منسوباً . ويتم تشفير الصورة بلصق الفيلم الشفاف إلى سطح أسطوانة تدور ، فتقوم حزمة الأشعة الضوئية الثانية بمسح الفيلم . ويتم تسجيل الشدة الضوئية النافذة بواسطة كاشف ضوئي ، وتظهر كمتالية من عدد n من الأعداد الصحيحة تتراوح بين صفر ، ٢٥٥ التي تتناسب مع الكثافة الضوئية لكل نقطة من النقط n على الفيلم . ويعاد مسح الفيلم خطأ بعد خط ليقطع المساحة المطلوبة من خريطة هدب التداخل . ويتم المسح للهدب باستخدام أقل قيمة لقوة الفصل المتاحة وهي ١٠ خط لكل مليمتر مع تسجيل ٢٢٠ نقطة لكل خط و ٢٥٠ خط لكل خريطة هدب . ويتم عملية التعرف والحصول على الهدب بمسح الفيلم عمودياً على اتجاه الهدب . والشكل رقم (٢/١١) لخط تم تشعيره بواسطة جهاز فكسميل facsimile device ويمثل تغير الكثافة الضوئية مع موقع البروفيل . ويقع الهدب على خط مسح معين .

وحصيلة برنامج تعين موقع الهدب هو مصفوفة من x, y ي مركز الهدب تحت الفحص والشكل رقم (٣/١١) يبين رسمياً لهذه المصفوفة ويتم تخزين بيانات المصفوفة على ملف قرص ، ويكون ذلك المدخلات للبرنامج الذي يتم عن طريق حساب بروفيل معاملات الانكسار



شكل رقم (١/١١) : رسم تخطيطي لطريقة التحليل الآوتوماتيكي



شكل رقم (٢/١١) : (ا) يبين نتيجة مسح الهدب في الاتجاه الموضع منحنى الكثافة الضوئية وتغيرها مع قيم λ في (ب)

٢/١١ - حساب بروفيل معامل الانكسار :

Calculation of the index profile

يتم حساب بروفيل معامل الانكسار (n) من قيم y, x ، حيث (r) n تمثل معامل الانكسار عند بعد z من مركز لب الشعيرة مطروحا منه معامل انكسار قشرتها ، وذلك باستخدام برنامج تفاعلي أو جواري $(^{(*)} \text{interactive})$. ويتم ذلك عن طريق اتباع الخطوات الثلاث الآتية :

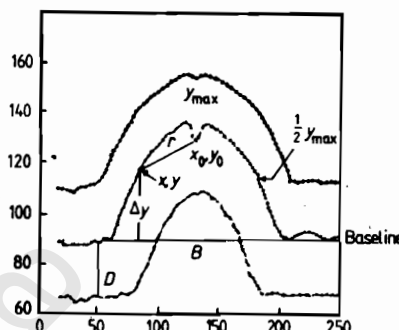
أ- خط أساس أو الأساس Base line لحساب Δn ، ويتم تعين قيمة الإحداثي y المناظرة للمعامل n_{clad} لكل هدبة مختارة ، وستستخدم قيمة الإحداثي y للقشرة للهدبة المركزية كخط الأساس لتعيين إزاحة الهدب Δy ، كما هو موضح في الشكل رقم (٣/١١) ، وكذلك قيمة y لمعامل انكسار القشرة لكل هدبة مختارة لتعيين زاوية ميل مقياس التداخل ، والذى منه يحسب البعد بين أي هدبتين متعاقبتين D في المناطق التي يكون فيها معامل الانكسار منتظم القيمة .

ب- تعين موقع محور الشعيرة (مركز أو منتصف قلب الشعيرة (x_0, y_0)) : يمكن تعريف النقطة x_0 بأنها منتصف أو مركز الإحداثيات x التي عندها $y = \frac{1}{2} y_{\text{max}}$ ويتعين موقع (x_0, y_0) يمكن حساب البعد z من محور الشعيرة عند كل نقطة (x, y) على الهدبة المركزية من العلاقة $(y_0 - y)^2 + (x_0 - x)^2 = z^2$ وتقاس z بوحدات ميكرون مع

أخذ قمة تكبير الميكروسکوب في الاعتبار .

جـ- تعين بروفيل معامل الانكسار : يتم تعين كل من إزاحة الهدب Δy وقيمة نصف القطر r لكل نقطة (x,y) على الهدبة المركزية . ويحسب قيم (r) $\Delta n(r)$ بدلالة البعد D بين أى هدبتين متعاقبتين ، وسمك الشريحة t وطول موجة الضوء أحادى الطول الموجي λ من العلاقة :

$$\Delta n(r) = \frac{\Delta y}{D} \frac{\lambda}{t} \quad (11.4)$$



شكل رقم (٣/١١) يبين مصفوفة قيم (x,y) لموقع الخط المركزي لكل هدبة الذى تم تعينه من برامج التحليل الضوئي

ويعطى شكل (٤/١١) بروفيل معامل الانكسار . والمنحنى الكامل هو لقيم أقل من براءات ليتفق fit مع المعادلة :

$$\Delta n(r) = \begin{cases} \Delta n_0 \left[1 - \left(\frac{r}{a} \right)^\alpha \right] & r < a \\ 0 & r \geq a \end{cases}$$

والسبب فى انخفاض قيمة معامل الانكسار عند منتصف الشعيرة ناتج من فقد O_2 من الطبقات الداخلية للب الشعيرة ، وهو مكون من $GeO_2 - SiO_2$ أثناء الطريقة الكيميائية المعدلة القائمة على ترسيب البخار MCVD لإنتاج الألياف الضوئية ، ويسمى هذا الانخفاض بالفجوة المركزية . Central dip

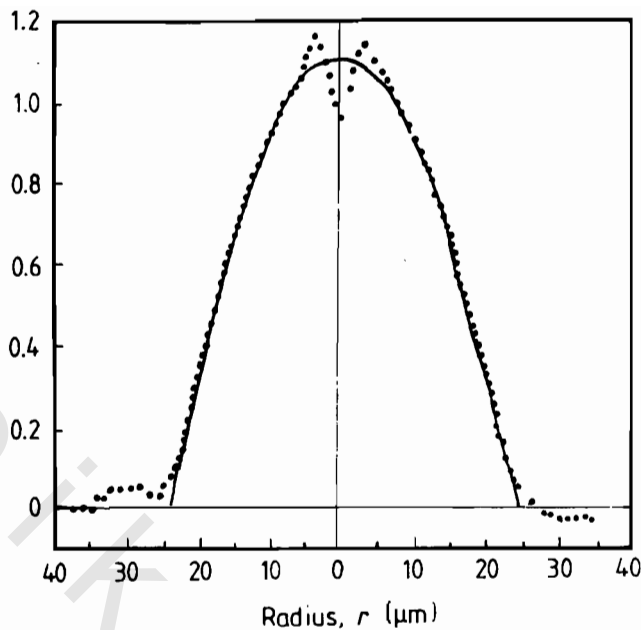
(*) نظام الحاسوب الآلكترونى يعمل بنظام تشغيل ، يتبع المستخدم الاتصال المباشر بالحاسوب والتعامل معه بأسلوب حوارى ، حيث يتم إدخال متغيرات البيانات بواسطة عبارات أمره ، يدخلها المستخدم وتصله إجابة النظام عليها بصورة فورية .

وقد استخدم "Presby et al ١٩٧٨" كاميرا فيديو ، ومرقم digitiser ، وحاسب desk computer ، محولا الصور إلى أرقام كما هو موضح في الشكل رقم (٥/١١) لمعالجة الناتج أو المخرجات من ميكروسكوب التداخل مباشرة بتطبيق طريقة التداخل الضوئي من الشريحة العرضية . وتعمل كاميرا الفيديو خلال ميكروسكوب التداخل وترسل إشاراتها الكهربائية إلى مرقم الذي يعمل عمل محول تناظري رقمي analog-to-digital converter بدرجة دقة تساوى ٨ بait بعد تحديد نقط معينة مختارة في مجال رؤية الفيديو ، يتحكم برنامج الحاسب الآلى في اختيار النقط و يتم استجماع البيانات كما يلى :

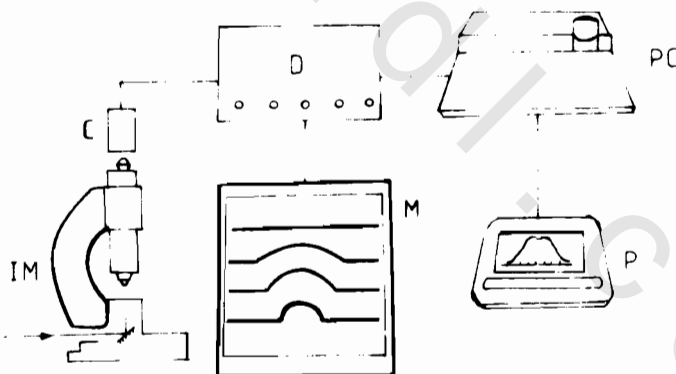
يوجه الحاسب المرقم ليجمع بيانات الشدة الضوئية على خطوط مسح متsequبة فتقطع النقط المختارة على خط رأسى قريب من مركز القطع المكافىء . ويقوم المرقم بأخذ عينات الشدة الضوئية على خط رأسى قريب من مركز لب الشعيرة فالمنحنى المتوج الموضع فى شكل (٦/١١) يمثل تغير الشدة الضوئية على خط رأسى . ويعين الحاسب الآلى موقع الهدب بأن يبحث عن موضع النهاية الصفرى للشدة الضوئية عن طريق موقع عدد من النقط حول النهاية الصفرى باستخدام طريقة أقل المربعات والتى تقع على قطع مكافىء . ثم يوجه الحاسب الخط الرأسى ليجمع معلومات على جانبي لب الشعيرة التى تستخدم لتعيين البعد بين أى هدبتين متsequبتين . ثم يتحرك الخط الرأسى بخطوات مقيدة لقياس إزاحة الهدبة التى هي دالة للإحداثى r فى اتجاه نصف القطر مقاسا من منتصف لب الشعيرة أى مركزها ، والدالة الناتجة ونرمز لها بالرمز (H) هي Δy وتستخدم فى حساب $n_{clad} - n_r$ طبقاً للمعادلة (٤/١١) . وفي النهاية ترسل النتائج لتوزيع معامل الانكسار لجهاز رسم المنحنيات .

(*) محور تناظرى رقمي هو جهاز يستقبل النبضات التناظرية analogue signals المصدرة من الحاسب التناظرى analogue computer ، ويخرجها فى هيئة نبضات رقمية صالحة كمدخلات للحاسب الرقمي .

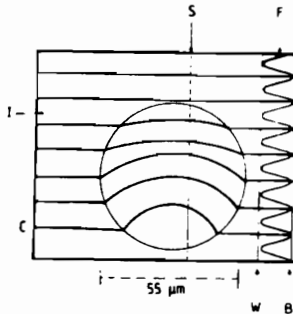
والحاسب القياسي أو التناظرى هو جهاز الكترونى تم تصميمه لأداء مهمة معينة متاثرا بما يطرأ على مستويات الطواهر التناظرية من تغيرات كالتى تطرأ على مستوى قوة ظاهرة معينة مثل قياس درجة حرارة مادة واتخاذ قرار عند وصولها إلى مستوى معين يتم تحديده مسبقا .



شكل رقم (٤/٤) : بروفيل معامل الانكسار المعين باستخدام الطريقة الائتماتيكية لتحليل خريطة مدب التداخل الضوئي . ويوضح المنحنى المستمر الاتفاق مع المعادلة بطريقة أقل المربيعات (least squares fit) ($\alpha = 1.97$, $\Delta = 0.0076$, $r_{\text{core}} = 24.0 \mu\text{m}$)



شكل رقم (٥/٥) : يبين الأجهزة المستخدمة لإجراء عملية تعين بروفيل معامل انكسار عبر شعيرة اوتوبيكيا باستخدام ميكروسكوب تداخل ضوئي يقوم على مسار مفرد ، IM ميكروسكوب التداخل ، C كاميرا فيديو ، D مرقم فيديو ، M شاشة العرض ، PC حاسب مبرمج ، P راسم للمنحنيات



شكل رقم (١١/٦) : يوضح طريقة التداخل باستخدام هدب التداخل الثاني الناتجة من شريحة متسلوقة السلك موصية لشمعة متدرجة معامل انكسار لها . S يمثل خطأ رأسيا يقطع هدب التداخل ويتحرك لمسح خريطة الهدف . مؤشر الشاشة C (وهو العلامة المضيئة التي تأخذ شكل رباعي لوحة مقييد يظهر على شاشة المعرض المرئي لتحديد موضع ظهور المعلومة الجديدة) ، F تغير الشدة الضوئية على الخط الرأسى . ويظهر السائل الذى معامل انكساره متساو لمعامل انكسار القشرة عند I (المرجع الأبيض ، B ، المرجع الأسود)

٣/١١- التحليل الآوتوماتيكي لخريطة هدب التداخل واستخلاص بروفيل معامل انكسار الشعيرة باستخدام هدب التدخل المستعرضة :

Automatic analysis of interferograms and deduction of the index profile of fibres using a transverse interference pattern :

تم في الفصل الثالث اشتراق تعبير رياضى لملائمة إزاحة الهدب (y) معامل الانكسار (r) في الصيغة الآتية :

$$S(y) = \frac{2D}{\lambda} \int_y^R \frac{\Delta n_m(r) r dr}{(r^2 - y^2)^{1/2}} \quad (11.5)$$

ويستخدم تعاكس أبل نحصل على :

$$\begin{aligned} \Delta n_m(r) &= n_m(r) - n_{clad} \\ &= -\frac{\lambda}{\pi D} \int_r^R \frac{dS(y)}{dy} \frac{dy}{(y^2 - r^2)^{1/2}} \end{aligned} \quad (11.6)$$

وقد قدم Boggs et al (١٩٧٩) وكذلك "Presby et al" (١٩٧٩) وصفاً لطريقة أوتوماتيكية لاستخلاص بروفيل معامل الانكسار عبر شعيرة متدرج معامل انكسار لها مستخدمة هدب التداخل الثنائي التي حصلوا عليها نتيجة إضافة الشعيرة بحزمة ضوئية عمودياً على اتجاه محورها . وفي هذه الطريقة يتم انكسار الضوء الساقط عند السطح الخارجي لقشرة الشعيرة ، وتكون إزاحة الطور الإضافية والانكسار الناتجين من لب الشعيرة ثور ثانوي . لهذا يصبح من المفيد إزالة تأثير القشرة بغير الشعيرة في سائل له نفس معامل انكسارها n_{clad} . يمر كل شعاع في المناطق التي معامل انكسارها متغير ويعبر عن طول المسار OPL بالتكامل $\int_{S_1}^{S_2} n(S) dS$. هذا التغير S هو طول المسار مقاساً على الشعاع . تغير الشعيرة في قطرة من السائل الذي معامل انكساره مساوياً لمعامل انكسار القشرة والذي تغير فيه شينية микروسكوب . هذه هي المكونات الموجودة في أحد ذراعي ميكروسكوب التداخل في حين أن الذراع الآخر يحتوى على قطرة من السائل الذي معامل انكساره n_L مساو : n_{clad}

$$n(r) - n_L = - \frac{\lambda}{\pi D} \int_r^R \frac{dS(y)}{dy} \frac{dy}{(y^2 - r^2)^{1/2}} \quad (11.7)$$

باستخدام المعادلة السابقة يمكن حساب قيمة معامل الانكسار وتوزيعها عبر مقطع الشعيرة باستخدام برنامج حاسب آلى يتناول قيمة إزاحة الهدب الناتجة من الإضافة المستعرضة للشعيرة باستخدام ميكروسكوب التداخل الذى يقوم على مسار مفرد . وللمعالجة البيانات ، أى قيمة إزاحة الهدب ، يتطلب إجراء تفاضل يليه تكامل طبقاً للمعادلة (١١/٧) .

ولقد قام "Boggs et al" (١٩٧٩) بقياس بروفيل معامل الانكسار بغير شعيرة طولها حوالي ستيمتر واحد في سائل المضافة oil matching index ، ووضعت المجموعة في طريق مسار الضوء في أحد ذراعي ميكروسكوب تداخل نافذ للضوء Leitz ذى الشعاع المزدوج والمسار المفرد ، كما وضع سمك مماثل من سائل المضافة في الذراع الآخر أى الذراع المرجع ، واستخدم ضوء أحبارى الطول الموجى حيث $\lambda = 0.9 \mu$. $n_L = 1.457 \pm 0.0005$.

وقد وجد أن تسخين السائل لتتم المضافة أى تساوى معاملى الانكسار $n_L = n_{cald}$ ليس ضرورياً . وخطوات العمل هي نفس الخطوات التى أجراها "Wonsiewicz et al"

(١٩٧٦) وكذلك "Presby et al" (١٩٧٨) وهى موضحة بالشكل رقم (١١/٥)، وهى تشمل تسجيل فيديو وتحويل صورة هدب التداخل إلى رقمية تحت سيطرة وتحكم ببرنامج الحاسب الآلى . وقد تم استخدام كاشف من السليكون المنشط بأشعة تحت الحمراء كفديكون . ثم ترسل إشارات الفيديو إلى فيديو محول إلى رقمية له صلاحية معالجة وتشغير عناصر الصورة أى الصور النقطية فى إطار التليفزيون (*) Television frame ويقوم الرقم بفصل ٤٨ عنصر صورة أى صورة نقطية على محور z وعدد ١٢ عنصر على المحور x ويتم الحصول على قيم x, y, z كمدخلات بواسطة نظام اتصال مزدوج الاتجاه يسمع بإرسال واستقبال آنى يقوم على ١٦ - بait مدخلات إلى مخرجات (٠/١) عن طريق وصلة بينية إلى حاسب آلى رقم A 9825 هيليو - باكر .

16-bit duplex^(**) input / output (1/0) interface^(***) of a Hewlett-Packard 9825 A computer

ويتم التحويل إلى شفرة ٨ بait أو ٢٥٦ منسوب gray ويستقبل فيديو مرقم بواسطة حاسب ٨ بait ثانى (١) على التوازى . ويحصل المرقم بشاشة عرض فيديو تسمع بمشاهدة المنظر الذى يتم معالجته ومراقبة الشفرة على نفس الشاشة ، وهدف عملية التشغير هو تجميع الشدة الضوئية المناظرة لنقط معرف مواقعها ، وبالتالي يمكن تعين إزاحة الهبة من بداية القشرة بدقة كدالة للبعد من مركز الشعيرة . ويتعين إزاحة الهبة ، يحسب الحاسب الآلى Δn بواسطة طريقة تعرف بطريقة معامل الانكسار الدائرية ، وتقدم هنا نبذة عنها ثم نرسم بروفيل معامل الانكسار مع الإحداثيات باستخدام راسم xy ويعلن الحاسب

* إطار ، صورة إشارة إلى وحدة معلومات مثل صفحة بيانات على شاشة العرض المرئى ، ويستخدم هذا التعبير أيضا لإشارة إلى المسار فى الشريط المغнет باعتباره إطار للموقع الثانية .

** نظام اتصال يسمع بانتقال الإشارات فى الاتجاهين فى نفس الوقت . أى إرسال واستقبال آنى .

*** هو جهاز بيني أو وصلة بينية إشارة إلى قناة الوصل التي تتحقق الرابط بين المعالج المركبى والملحقات الخاصة بنظام الحاسب الآلى لوى توصيل أى جهازين أو جزئين من أجزاء آنى نظام آنى .

(١) إشارة إلى اسلوب تتلألب جميع عناصر وحدة البيانات على التوازى أى متزامنة (فى نفس الوقت) لون تتبع أو ترتيب بينها ، وهو فى هذه الحالة يشير إلى نوع من الحالات أو الأشياء كما فى نظام الترميم الثنائى حيث يستخدم رقمان فقط هما (٠،١) ومثل حالة مصباح كهربى إما مضمى أو مطفأ

الآلی أكثر المنحنیات اتفاقاً وقيمة الدالة الأساسية التي تعبّر عنه ، ونستخلص قيمة α في المعادلة الأصلية لبروفيل الانكسار للألياف متدرجة معامل انكسار لها .

وكما شرحنا ، تم معالجة لوتوماتيكية لخرجات الميكروسكوب باستخدام نظام يقوم على فيديو - رقم - حاسب آلی متحكم مسيطر ، ونحصل على بروفيل معامل الانكسار عن طريق حل المعادلة التكاملية . والنتائج التي يتم الحصول عليها تكون reproducible إلى حوالي ١٪ ويمكن تعبيينها في مدة تصل إلى بعض دقائق من إنتاجها تتفق مع التوزيع المطلوب المثالي Optimam .

وقد أفاد "Presby et al" (١٩٧٩) بأن الحل الكامل للمعادلة التكاملية رقم (٧/١١) يمكن من استخلاص قيم (r) عند كل نقطة تبعد z عن مركز لب الشعيرية من إزاحة الهبة (y) وذلك بإجراء تفاضل ثم تكامل . ولما كانت إزاحة الهبة معلومة عند موقع محددة فقط ، فإنه تستخدم الحلول العددية numerical techniques المقربة للتفاضل وكذلك للتكامل . وتتوقف درجة الدقة في نتائج بروفيل معامل الانكسار على درجة الدقة في قياس (y) S ، على كثافة النقط التي يتم قياس (y) S عندما والطرق المستخدمة في الحسابات العددية ودقتها .

من طريقة التحليل التي قام بها "Boggs et al" (١٩٧٨) والتي تعرف بطريقة المعامل الدائري ، افترض أن الأشعة تمر خلال لب الشعيرية دون انعطاف وأن طورها يتآخر تبعاً لطول مسار الضوء . بالإضافة افترض أن الشعيرية تتكون من عدد كبير من الحلقات متعددة المركز ، معامل انكسار كل منها ثابت ، وقد أمكنهم حساب معامل الانكسار خطوة - خطوة ، باذتنين بالحلقة الأولى ومتوجهين نحو المركز أو المنتصف ، إذ أنه يمكن حساب معامل انكسار أية حلقة إذا كانت قيم معاملات انكسار الحلقات التي تسبقها سبق معرفتها .

وبنفي أن نذكر أنه فقط في حالة التداخل الضوئي التفاضلي differential interfere- shearing rometry مثلاً عند استخدام مقياس التداخل لما يزيد زندر مع وجود جهاز قص قص - كما أورينا في الفصل الثالث - أن توزيع معامل الانكسار تعطيه مباشرة المعادلة رقم (٧/١١) كما يلى :

$$\Delta n(r) = -\frac{\lambda}{\pi D_s} \int_r^R S(y) \frac{dy}{(y^2 - r^2)^{1/2}} \quad (11-8)$$

حيث ترمز S إلى الإزاحة الفرضية بين الشعاعين وفي هذه الحالة لانحتاج إلى المعامل التفاضلي .

وفي الخاتمة ، نقول بأن النظام الذى يشمل ميكروسكوب التداخل ، وفيديكون كاميرا ، ومرقم فيديوشاشة عرض ، وحاسبا مبرمجا دراسما المنحنيات - مناسب لإجراء عملية التعين الآوتوماتيكي لبروفيل معامل انكسار الألياف عند تطبيق طريقة التداخل القائمة على الهدب المترقبة من شريحة مستعرضة من الشعيرة ، أى طريقة التداخل المستعرضة ، وكذلك عند تتلول هدب التداخل الثنائي أو هدب التداخل المتعدد ، وكذلك ميكروسكopies التداخل القائمة على المسار المفرد والمسار المزدوج .

وفي كل حالة نحصل على خريطة لهدب التداخل ونسجلها وترى من خلال كاميرا فيديو ، يلى ذلك مرقم فيديوشاشة عرض . ومن الواضح أن طرق الحصول على هدب التداخل تختلف فى فرق طول مسار الأشعة التى تتدخل وبالتالي فى العلاقات التى تربط معامل الانكسار وإزاحة الهدب ، ويحتاج ذلك إلى البرنامج المناسب لاستخلاص بروفيل معامل الانكسار للشعيرة . وفي حالة خريطة هدب التداخل الناتجة من استخدام شريحة عرضية من الشعيرة توجد علاقة خطية بين $(r) \Delta n$ وإزاحة الهدب $y \Delta$ تعبر عنها المعادلة رقم (11-4) ، فى حين أنه فى حالة نظام التداخل الذى تسقط حزمة الأشعة وحيدة الطول الموجى المتوازية على الشعيرة عموميا على اتجاه محورها transverse interference systems تتبع العلاقة بين $(r) S$ المعادلة التكاملية رقم (11-7) ، معادلة تعاكس Abel's integral equation . ويوضح حلها أن $(r) \Delta n$ عند أية نقطة على لب الشعيرة يمكن الحصول عليها من إزاحة الهدب $(y) S$ بإجراء التفاضل أولا يعقبه التكامل . وفي التداخل التفاضلى نحصل على توزيع معامل الانكسار بطريقة مباشرة من معادلة التكامل التى لا تتطلب إجراء تفاضل مسبق .

References

- Billingsley F D 1971 Digitization and storage of the image in *Advances in Optical and Electron Microscopy* ed. R Barer and V E Cosslett vol. 4 (London: Academic) pp 127-70
- Boggs L.M, Presby H M and Marcuse D 1979 *Bell Syst. Tech. J.* **58** 867
- Eccles M J, McCarthy B D and Rosen D 1976 a *J. Microsc.* **106** 33
- 1976b *J. Microsc.* **106** 43
- Hopkins H H 1943 *Proc. Phys. Soc.* **55** 116
- Marcuse D and Presby H M 1980 *Proc. IEEE* **68** 676
- Presby H M, Marcuse D and Astle H W 1978 *App. Opt.* **17** 2209
- Presby H M, Marcuse D, Astle H W and Boggs L M 1979 *Bell Syst. Tech. J.* **58** 883
- Rosen D 1984 Instruments for optical microscope image analysis in *Advances in Optical and Electron Microscopy* ed. R Barer and V E Cosslett vol. 4 (London: Academic) pp 323-45
- Wonsiewicz B C, French W G, Lazay P D and Simpson J R 1976 *Appl. Opt.* **15** 1048.

المصطلحات العلمية

Abel inversion	تعاكس أبل
Achromatic fringe	مذبذبة لالونية
Acrilan fibres	ألياف الاكريلان
Airy formula	صيغة ايري
Airy summation	تجميع ايري
Amplitude	سعة
Anisotropic fibres	ألياف متباينة الخواص الضوئية
Aperture numerical	الاتساع العددي
Attenuation coefficient	معامل الاضمحلال
Automatic analysis of interferograms	تحليل تلقائي لخريطة مذبذب
Avogadro's number	التدالخ الضوئي
Axes optic of crystal	عدد انوجادرو
Babinet compensator	محور البصري للبلورة
Back-scattering from fibres	معادل بابينيت
along fibre axis	التشتت الخلفي من الألياف
perpendicular to fibre axis	في اتجاه محور الشعيرة
Back-Scattering measurement	في الاتجاه العمودي على محور الشعيرة
Beam splitter	قياس التشتت الخلفي
Becke-line method	مجزء حزمة الأشعة
Bessel function	طريقة الحد الفاصل لبيك
Biaxial crystal	دالة بسل
Bi-prism Fresnel's	بلورة ثنائية المحور
Birefringence	المنشور المزبورج لفرنيل
accuracy of measurement	الانكسار المزبورج
lateral	دقة القياس
	الجانبي (العرض)

measurement	قياس
radial	في اتجاه نصف القطر
Birefringent prism	منشور الانكسار المزدوج
Bond polarisability	استقطابية الروابط الكيميائية
Cashmeline fibres	ألياف الكاشميلاون
Cauchy's dispersion of fibres	صيغة التفرق الصواني لقوش
Chemical vapour deposition, Modified	الطريقة الكيميائية المعدلة لتكوين الألياف بترسبيب الأبخرة
Coherence length	طول الترابط
Core of fibres	لب الشعيرات
Cotton fibres	ألياف القطن
Courtelle fibres	ألياف الكورتل
Crystal	بلوره
growth features	معالم النمو البلوري
silicon carbide	كرييد السيليكون
topography	تضاريس السطح
Damage in fibres by γ -rays	الإتلاف في الألياف بأشعة جاما
by neurons	بالنيورونات
Digitisation	ترقيم
image	تحويل الصورة إلى أرقام
signal	تحويل الإشارة إلى أرقام
spatial	فراغي
Digitiser	مرقم
Dispersion of spectrograph	تفرق المطياف
Division of amplitude	تقسيم الplitude
Division of wavefront	تقسيم جبهة الموجة
Double refraction	انكسار المزدوج
Dralon fibres	ألياف الدرالون

Draw ratio	نسبة السحب
Polypropylene fibres	الياف البولي بروپيلين
Fabry-Perot interferometer	مقياس التداخل لفابري وبيرو
Feussner surface	سطح فايسنر
Fibres	الياف
anisotropic	متباينة الخواص
diameter determination	تعيين القطر
dispersion properties	خاصية التفرق الضوئي
effect of γ -irradiation	تأثير التشعيع بأشعة جاما
flax	الكتان
gamma irradiation	التشعيع بأشعة جاما
heterogeneous	الياف غير المتجانسة
highly oriented	الياف انتظمت غالبية جزيئتها في اتجاه محورها
homogeneous	الياف متجانسة
homogeneous cylindrical	الياف إسطوانية متجانسة
irregular transverse sections	مقاطع عرضية غير منتظمة
multilayer	متعدد الطبقات
natural	الياف طبيعية
optical	الياف بصيرية
physical properties	الخصائص الفيزيائية
opto-mechanical	الخصائص الضوئية - الميكانيكية
opto-thermal	الخصائص الضوئية - الحرارية
radius determination	تعيين نصف قطر الشعيرة
refractive index determination	تعيين معامل انكسار مادة الشعيرة
regular transverse sections	قطع عرضي منتظم
skin-core structure	قشرة وقلب الشعيرة
steam stretched acrylic	الياف الأكريليك المشدودة في جو من البخار
structure	تركيب

surface topography	تضاريس السطح
synthetic	ألياف تركيبية
Fibrous materials	الألياف
Fizeau fringes	هدب التداخل الضوئي لفيزو
localised	محددة الموقع
multiple-beam	متعددة الأشعة
shape	شكل الهدب
Fizeau method	طريقة فيزو
Fresnel biprism	المنشور المزدوج لفرنيل
Fringe pattern	توزيع الشدة الضوئية
intensity distribution	فى مجموعة هدب
Fringes	هدب
equal chromatic order	هدب تساوى الرتبة اللونية
equal tangential inclination	هدب تساوى ميل الماس
equal thickness	هدب تساوى السماك
multiple beam formation	تكوين هدب التداخل المتعدد
analysis of elements	تحليل عناصر التكوين
at reflection	عند الانعكاس
in transmission	عند النفاذ
intensity distribution	توزيع الشدة الضوئية
localisation	موقع الهدب
phase lage	تخلف الطور
silvered liquid wedge with fibre inserted	
	مسطحان ضوئيتان مفضضان يميل أحدهما
	على الآخر يحصران سائل غمرت فيه شعيرة
visibility	بيان الهدب
zero-order	الهيبة الصفرية
Fourier transform of the Gaussian function	تحولات فوريير لدالة جاوس

Gabor reconstruction of wavefronts	إعادة بناء جبهات الموجة لجابور
Graded index optical fibres	ألياف بصرية معامل انكسار لها يقل
Graded index profile	مع البعد عن مركز الشعيرة
Grating spectrograph	بروفيل معامل انكسار الألياف
Group velocity	مطياف محرز الميود
Hartman's formula	سرعة المجموعة
Highly oriented fibres	صيغة هارتمان
Hologram	ألياف ذات انكسار مزدوج عال
Holographic interferometry	هولوغرام
Holography	التدخل الضوئي الهولوغرافي
Huygen's principle	هولوغرافيا
Image splitting	مبدأ هايجنز
Index profile of fibres	انقسام الصور
calculation	بروفيل معامل انكسار الألياف
step-pyramid like	حساب
Intensity distribution in fringe	على شكل هرمي مدرج
multiple-beam at reflection	توزيعها لشدة الضوئية لهدب
multiple-beam in transmission	التدخل الضوئي المتعدد
two-beam	عند الانعكاس وعند النقاد
Interference fringes	التدخل الثاني
at reflection	هدب التداخل الضوئي
multiple-beam	عند الانعكاس
sharpness	الأشعاع متعددة
two-beam	حدة
applied to fibre surface topography	هدب التداخل الضوئي الثاني
spliced optical fibres	لدراسة تضاريس سطح الألياف
Interference in crystals	الألياف البصرية الموصولة
	التداخل ، الضوئي في البلورات

Interference microscope	ميكروسكوب التداخل الضوئي
	ميكروسكوب التداخل الضوئي ذات التحكم الآوتوماتيكي
automated	ذات التحكم الآوتوماتيكي
Baker	ميكروسكوب التداخل الضوئي لبيكر
Dyson	ميكروسكوب التداخل الضوئي ندايсон
Interphako	ميكروسكوب التداخل الضوئي (انترفاكو)
Leitz	ميكروسكوب التداخل الضوئي (ليتز)
Linnik	ميكروسكوب التداخل الضوئي (لينيك)
Pluta	ميكروسكوب التداخل الضوئي لبلوتا
Polarising	ميكروسكوب التداخل الضوئي المستقطب
Shearing effect	ازدواج الصورة في ميكروسكوب التداخل الضوئي
Tolansky	ميكروسكوب التداخل الضوئي لتولانسكي
two-beam	الثاني
two-beam single-pass	أحادي المسار
variable double refracting (VDR)	انكسار مزدوج متغير
Zeiss-Linnik	ميكروسكوب التداخل الضوئي (ذايس لينيك)
Interference of plane polarised light	تدخل الأشعة المستقطبة في مستوى
Interference pattern	هدب التداخل الضوئي
Intergerograms	صور التداخل الضوئي
analysis	تحليل صور التداخل الضوئي
automated analysis	تحليل صور التداخل الضوئي آوتوماتيكي
Interferometer	قياس التداخل الضوئي
double-pass	ثانية المسار
Fabry-Perot	لفابرى وبيرى
Jamin	لجامن
Mach-Zehnder	ماخ وزندر
Michelson	ميكلسون
Single-pass	أحادي المسار

wedge	على شكل إسفين
Interferometric slab method	الداخل الضوئي باستخدام شريحة على شكل قرص من الشعيرية
accuracy	دقة
Interferometry	الداخل الضوئي
differential	التقاضلي
fibre	ألياف
holographic	هologрафي
speckle	بقيمات ضوئية
subtraction	الداخل الضوئي بالطرح
Irradiation effect, γ on refractive index of optical fibre	تأثير التشعيع باشعة جاما على指數 of optical fibre
synthetic fibre	ألياف بصرية
Isotropic homogeneous medium	وسط متجانس ومتماثل ضوئيا
Kevlar 49 fibres	ألياف الكفلار ٤٩
Laser	ليزد
He-Ne	ليزد الهيليوم - نيون
injection	ليزد الحقن
Lateral birefringence of fibres	الانكسار المزدوج الجانبي للألياف
Light emitting diodes (LED)	ثناوي باعث الضوء
Lorentz-Lorenz expression	صيغة لورنتز - لورنز
Matching cell	خلية تحوى سائل معامل انكساره مساو
Mechanical anisotropy	معامل انكسار قشرة الشعيرية
Mica	التبابن في الفواص الميكانيكية
muscovite	مسكوفيت ميكا
phlogopite	فلوجوبايت ميكا
surface topography	تضاريس سطح الميكا

Microstrain device	جهاز لقياس الشد الضئيل
	الطريقة الكيميائية المعدلة لتحضير الألياف بترسيب
Modified chemical vapour deposition (MCVD)	الأبخرة
Mohair wool fibres	ألياف صوف المومير
Multilayer coating	الطلاء بعده طبقات
Multiple-beam	تطبيق طرق التداخل الضوئي المتعدد
applied to surface topography	تطبيق دراسة تضاريس السطح
in transmission	عند النفاذ
at reflection	وعند الانعكاس
	النظام البصري المستخدم للحصول على هدب
Fizeau experimental arrangement for formation	التداخل الضوئي
in transmission	عند النفاذ
at reflection	عند الانعكاس
Fizeau fringes	هدب التداخل الضوئي المتعدد لفيزو
intensity distribution	توزيع الشدة الضوئية
interference	التداخل
interference fringes	هدب التداخل الضوئي
	أنظمة التداخل الضوئي التي تنتج محددة الموضع
Localised interference systems	
reflected system	هدب التداخل الضوئي المتعدد الناتجة بالانعكاس
Natural fibres	ألياف طبيعية
Newton's rings	حلقات نيوتن
Non-destructive technique	الطريقة (غير المثقبة) الإلإتلافية
Numerical aperture (NA)	الاتساع العددي
Nylon 6	ناثيلون ٦
Nylon 66	ناثيلون ٦٦
	جسم

amplitude	جسم يغير سعة الموجة
phase	جسم يغير طور الموجة
Optical absorption	امتصاص ضوئي
Optical anisotropy	تبابن ضوئي
Cotton	ألياف القطن
Optical communication systems	نظم التراسل الضوئي
Optical fibres	ألياف بصرية
calculation of index profile	حساب بروفيل معامل الانكسار
effect of γ -irradiation	تأثير التشعيع بأشعة جاما
graded index	بروفيل ألياف بصرية معامل انكسار لها يقل مع البعد عن مركز الشعيرة
graded index profile	بروفيل معامل الانكسار للألياف البصرية متدرجة معامل الانكسار
monomode	انكسار - وحيدة المنوال
multimode	عديدة المنوال
optical properties	الخصائص الضوئية
refractive index measurement	قياس معامل الانكسار
refractive index profile	بروفيل معامل الانكسار
single mode	وحيدة المنوال
step index	بروفيل معامل الانكسار من درجة واحدة
waveguides	موجة الموجة
Optical Fourier transforms	تحولات فوريير الضوئية
Optical microscopy	الميكروسكوب الضوئي
Optical path length	طول المسار الضوئي
Optical waveguides	وجهات الموجات الضوئية
Opto-mechanical properties of fibres	الخصائص الضوئية - الميكانيكية للألياف
Opto-thermal properties of fibres	الخصائص الضوئية - الحرارية للألياف
Phase change in transmission	تغير طور الأشعة عند نفاذها

Phase change on reflection	تغير طور الأشعة عند انعكاسها
Phlogopite mica	ميكا الفلوجوبيت
Photodetectors	كاشف ضوئية
Pticture analysis	تحليل الصورة
Planes of localisation	مستويات موقع الهيكل
Pluta microscope	ميكروسكوب التداخل الضوئي لبلوتو
Polyester fibres	ألياف البولي استر
Polyethylene fibres	ألياف البولي إيثيلين
Polyethylene terephthalate fibres	ألياف البولي إيثيلين تيريفيٹالايت
Poly (p-phenylene terephthalamide)	ألياف البولي (ب فينيلين تيريفيتاليميد)
Polypropylene fibres	ألياف البولي بروبيلين
Ramie fibres	ألياف الرامى
Rayleigh scattering	تشتت رالى
Rayleigh's refractometer	قياس معامل الانكسار لرالى
Reconstruction of wavefront	إعادة بناء جبهة الموجة
Refractive index	معامل الانكسار
accuracy of the measurement	الدقة في درجة القياس
measurement	قياس
profile of fibres	بروفيل معامل انكسار الألياف
variation	تغير معامل الانكسار
Scanning electron microscope	الميكروسكوب الإلكتروني الماسح
Scanning microdensitometer	جهاز قياس الشدة الضوئية
Scattering (see Back-Scattering)	التشتت الخلفى
Rayleigh	تشتت رالى
Skin of fibres	قشرة الشعيرات
Snell's law	قانون سنيل
Speckle	البقعيات الضوئية
Speckle interferometry	التداخل الضوئي الناتج من البقعيات الضوئية

double exposure	شـانـيـة التـعـريـض
Speckle photography	التـسـجـيل الفـوـتوـغـرـافـي للـبـقـيمـات الضـوـئـيـة
double exposure	شـانـيـة التـعـريـض
Spectrograph	المـطـيـاف
dispersion	الـتـفـرـق الضـوـئـي للمـطـيـاف
magnification	تكـبـير المـطـيـاف
Splices	لـحام
Splicing process	عملـيـة الـلـامـ
examine quality	فحـص جـودـة طـرـيقـة الـلـامـ
Storage of the image	تخـزـين الصـورـة
Structure of fibre, method	ترـكـيب الـأـلـيـاف
synthetic	الـتـركـيـبـيـة
optical	الـضـوـئـيـة
Surface features	خـصـائـص السـطـح
Surface of localisation	أـسـطـح مـوـاقـع الـهـبـ
Surface topography	تضـارـيس السـطـح
crystal	الـبـلـورـات
fibres	الـأـلـيـاف
Synthetic fibres	الـأـلـيـاف التـرـكـيـبـيـة
Television microscope	المـيـكـروـسـكـوب التـلـيـفـيـزـيونـي
Terylene fibres	أـلـيـاف التـرـلـين
Twaron fibres	أـلـيـاف التـاـورـون
To-beam interference	تطـبـيق طـرـق التـدـاخـل الثـانـي عـلـى الـأـلـيـاف

applied to fibres with irregular cross-sections

ذـات المقـاطـع العـرـضـيـة المـنـتـظـمة وغـير المـنـتـظـمة

applied to fibres with regular cross-sections

Uniaxial crystal

بلـورـة أحـادـيـة المحـور البـصـرى

Viscose rayon fibres	ألياف رايبون الفسكونز
Visibility of fringes	درجة تباین هدب التداخل وعلاقتها
relation to coherent length	بطول ترابط موجات المصدر
Wollaston prism	منشورولاتون
wool fibres	ألياف الصوف
Young's double-slit	تجربة الشق المزدوج ليونج
Young's fringes	هدب التداخل الضوئي ليونج
Zeiss-Linnik	زايس - لنيك
Zero-order fringe	الهبة الصفرية